# 物理的-化学的不均一場における陽イオン 交換反応を考慮した物質輸送実験

LABORATORY EXPERIMENT ON REACTIVE TRANSPORT IN PHYSICALLY AND CHEMICALLY HETEROGENEOUS FIELD

中川 啓<sup>1</sup>・天本 茜<sup>2</sup>・関岡洋志<sup>3</sup>・籾井和朗<sup>4</sup> Kei NAKAGAWA, Akane AMAMOTO, Yoji SEKIOKA and Kazuro MOMII

1正会員 博(工) 鹿児島大学准教授 農学部生物環境学科 (〒890-0068 鹿児島市郡元1-21-24) 2林兼産業株式会社品質保証部 (〒750-8608 下関市大和町2-4-8) 3鹿児島大学大学院農学研究科 (〒890-0065 鹿児島市郡元1-21-24) 4正会員 農博 鹿児島大学教授 農学部生物環境学科 (同上)

In general, hydro-geochemical characteristics of field soil porous media are distributed with large heterogeneity. This heterogeneity affects not only physical parameters but also chemical parameters. Evaluation of chemical and physical heterogeneity effects on transport of contaminant species is important to understand basic transport characteristics of field soils. In this study, laboratory experiment of solute transport in heterogeneous field with cation exchange reaction was carried out. Electric conductivities (EC) were measured by time domain reflectometry (TDR) using small printed circuit board probes (PCBP). Transient concentrations of cations and anions of eluted water were analyzed by ion chromatography. Breakthrough curves (BTC) of injected K<sup>+</sup> and Cl<sup>-</sup> showed split peeks that may be the effect of heterogeneity of the flow field. According to cations BTC, Ca and Mg were exchanged with K and then flushed out. Both of chemical and physical heterogeneity affects on solute transport clearly.

**Key Words:** reactive transport, physically and chemically heterogeneous field, cation exchange, laboratory experiment

### 1. はじめに

一般に自然の土壌や帯水層はその水文地質学特性 において不均一性を有している. 多くの研究者が, 透水係数などの物理的特性の不均一性を含む自然の 土壌や地層中の地下水流れについて、理論的、実験 的, また数値的に研究を行っている1)-10). 水文地質 学的特性の不均一性は,透水係数のような物理的性 質だけではなく,陽イオン交換容量といった吸着反 応に関わるような化学的性質の不均一性として,媒 体を流れる水へ影響を及ぼすと考えられる. Christiansen et al.<sup>11)</sup>は、数値実験により物理的-化学 的不均一飽和多孔媒体における化学物質の輸送につ いて検討した.彼らは、分散は物理的特性が支配的 であるものの, 化学的特性に基づく分散も無視はで きないと結論づけ、陽イオン交換反応が重要である ことを示した. また著者らは, 物理的-化学的不均 一性を考慮した物質輸送の数値計算を実施し、それ らが物質輸送に及ぼす影響を検討した12,13.特に流 れ場の巨視的な分散を把握する場合, 化学的不均一 性の影響を検討しておく必要があることが示唆された.

本研究では、物理的-化学的不均一性が物質輸送に及ぼす影響をより詳細に検討することを目的として、陽イオン交換反応を伴う溶質移動についての室内実験を実施した.実験では、時空間的な溶質濃度の変動を調べるため、プリント基板製プローブを用いたTDR法による電気伝導度の測定を試みた.また、反応輸送実験に先立ち、浸透層に充填する試料を用いて、物理的不均一性と化学的不均一性の間の関係を知るため、飽和透水係数と陽イオン交換容量および陰イオン交換容量の関係を調べた.

#### 2. 室内実験

# (1) 実験の概要

図-1に実験装置の概略を示す.実験装置は、浸透層の上部にマイクロチューブポンプによる灌水を行うように構成し、マイクロチューブポンプの吸水側

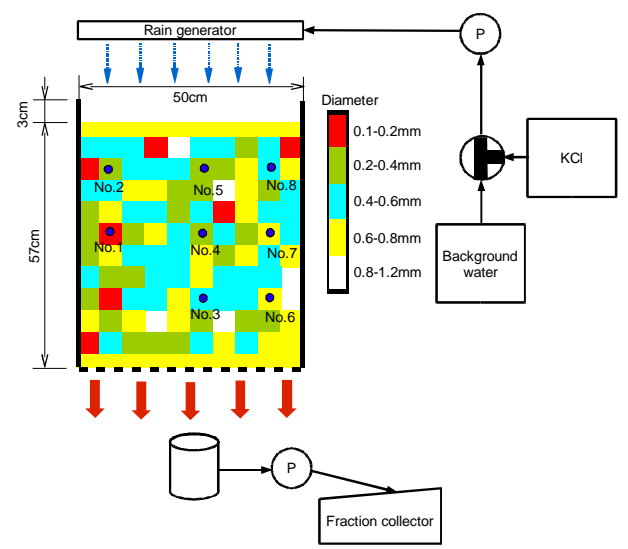


図-1 実験装置の概略

は、背景水と実験で浸透層に流入させるKCI 溶液を 切り替えることができるようにした. 採取してきた 試料(農場廃土および砂)を炉乾燥させ,5種類の 粒径範囲 (a: 0.1~0.2, b: 0.2~0.4, c: 0.4~0.6, d: 0.6~ 0.8, e: 0.8~1.2 mm) に篩い分け, それぞれ10 %の含 水比に調整した. 室内試験により求めた, 各粒径範 囲の飽和透水係数は, a: 1.1 x 10<sup>-3</sup>, b: 2.3 x 10<sup>-3</sup>, c: 3.2  $x 10^{-3}$ , d: 5.6  $x 10^{-2}$ , e: 8.3  $x 10^{-2}$  cm  $s^{-1}$ である. 試料 $a\sim$ cは農場廃土で, 乾燥密度1.0 g cm<sup>-3</sup>に, 試料d, eは砂 で, 乾燥密度 1.36 g cm<sup>-3</sup>となるように締め固め, 含 水比10%に調整し浸透層の所定の位置へ,5x5x10 cmのブロック毎に均一に充填した. 浸透層内の不均 一場は、PMWIN<sup>14)</sup>のRandom Field Generatorを用い、 自然対数変換した飽和透水係数分布の平均値を-1.05, 標準偏差を0.45、相関距離/浸透場スケールを0.1とし て発生して、5 クラスの透水係数の範囲に分類し作 成した $^{15)}$ . 図-2に示すプリント基板製のTDRプ ローブ (PCBP)<sup>15)</sup>を, 図-1に示す浸透層内の8 点に 挿入した. TDRのケーブルテスタは、TDR100 (キャ ンベル)を用い、マルチプレクサを介しPCBPと接続 した. 一様な浸透と排水を促すため均一の層を上下 に設けた. 既報<sup>15)</sup>ではTDRを土壌水分計として用 いたが、今回は主に電気伝導度計として用いた. 浸 透層の上部には、 定流量で潅水が行えるようにマイ クロチューブポンプと接続した降雨発生装置を設置 し、散水条件で背景水やKCI溶液の注入を実施でき るようにした.

実験は、まず鹿児島大学構内取水の地下水を背景水として降雨発生装置を通じて十分通水した後、流出溶液の各イオン濃度が安定した時点で、食用色素(赤色102号、キリヤ化学)により赤色に着色した0.1 MのKCl溶液に切り替えた. 15 L投入した後、再び背景水を通水し、流出溶液の各イオン濃度が初期の背景水濃度に近くなった時点で実験終了とした. なお実験を通しての降雨強度は、3.33 x 10<sup>-4</sup> cm s<sup>-1</sup>とした. したがってKCl溶液の投入時間は25時間である. 実験中は、着色したKCl溶液の浸透挙動を観察

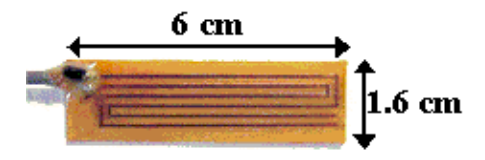


図-2 プリント基板製TDRプローブ (PCBP)

するため所定の時間間隔で浸透層を撮影した. 食用色素の挙動は、 $K^+$ が固相へ吸着するとしても、少なくとも $CI^-$ の挙動と一致すると考えられる. 下端で回収した流出溶液は、電気伝導度 (堀場製作所, B-173)とpH (堀場製作所, B-212)を測定した後、陰イオンおよび陽イオン濃度をイオンクロマトグラフ (メトローム, Compact IC861)により測定した.

### (2) PCBPを用いた電気伝導度の時間変化の測定方法

TDRによる土壌水分測定では、TDR本体から出力された電磁波をプローブに伝達し、その反射特性を時間領域で捉えることを利用して測定される.このとき電磁波の初期電圧 $V_0$ と最終電圧 $V_f$ を定めると、Giese and Tiemann <sup>16</sup>により提案された式(1)を用いて電気伝導度 (EC)を求めることができる.

$$EC = \frac{\varepsilon_0 c}{L} \frac{Z_0}{Z_u} (2 \frac{V_0}{V_f} - 1) \tag{1}$$

ここで、 $\varepsilon_0$ : 自由空間の誘電率( $8.9 \times 10^{-12}$  F m<sup>-1</sup>),c: 真空中での電磁波の速度( $3 \times 10^8$  ms<sup>-1</sup>), $Z_0$ : プローブ固有のインピーダンス( $\Omega$ ), $Z_u$ : TDRケーブルテスタのインピーダンス( $50\Omega$ )である.ここで, $\alpha = \varepsilon_0 c Z_0 / L Z_u$  とおけば次式のように表すことができ、 $\alpha \varepsilon$ プローブ固有のパラメータと考えることができる.

$$EC = \alpha (2\frac{V_0}{V_f} - 1) \tag{2}$$

この $\alpha$ をあらかじめ決定しておくことで,反射波形より電気伝導度を得ることができる.電気伝導度が既知のKCI溶液(東亜電波工業,CM-40Vにより測定)に各プローブを浸した時の波形から $V_0/V_f$ を読み取り, $\alpha$ を求めた.図-3に各プローブについての式(2)による校正曲線を示す.全てのプローブで原点を通る校正曲線が得られた.本研究では,これにより後の各プローブ挿入位置におけるECの測定を行った.No.1のみが他の校正曲線より外れたが,右上がりの直線を示しているという点では他と同様であり,校正により測定可能であると判断した.

#### (3) 陽イオン交換容量の測定方法

物理的不均一性と化学的不均一性の間の関係として,飽和透水係数と陽イオン交換容量の間の関係を明らかにしておくことは,本研究で行った室内実験結果の考察を行う際や将来の反応輸送モデルによる数値計算の実施に際して,重要な知見を与える.本

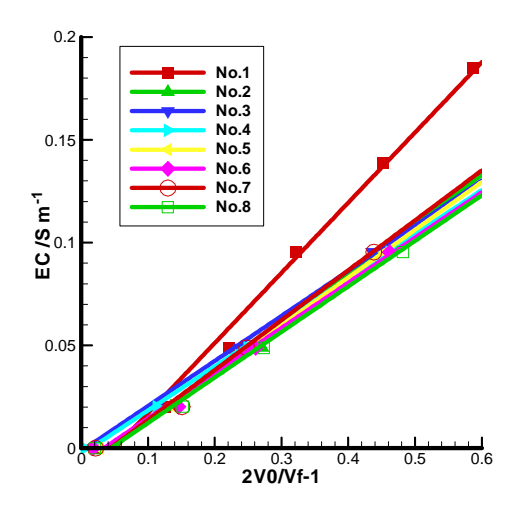


図-3 TDRによりECを得るための校正曲線

研究では、室内実験において浸透層に充填した試料を用いて、両者の関係を検討した.陽イオン交換容量は次の2つの方法により検討した.

方法1<sup>17</sup>: ①風乾試料2.0 gを遠沈管(各種類4本ずつ、計20本)に採取する. ②各遠沈管にpH7,1 Mの酢酸アンモニウム30 mLを加え、往復振とう器で30分間攪拌する. ③3000 rpmで10 分間遠心分離にかけ、上澄み液を100 mLのメスフラスコに集める. ④遠沈管にさらに30 mLの酢酸アンモニウムを加え、5分振とうし、10分間遠心分離にかけて上澄み液をメスフラスコに集める. ⑤操作④をもう一度繰り返し、メスフラスコの標線まで純水で希釈する. ⑥抽出液100 mLを、イオンクロマトにより各イオン濃度を測定する. ⑦測定値から抽出原液濃度を計算し、乾土あたりの各交換性陽イオン量を計算し、その合計を陽イオン交換容量とする.

方法2: ①風乾試料2.0 gを遠沈管に採取する. ②1 Mの塩化カルシウムを30 mL加え,往復振とう器で10分間攪拌した後,一夜放置する. ③10 分間遠心分離にかけ上澄み液を捨てる.同様の洗浄を5 回繰り返す. ④各遠沈管に80 %エタノール水溶液を30 mL加え,往復振とう器に10 分間,遠心分離器に10分間かける操作を,上澄み液中に硝酸銀水溶液で塩化物イオンが検出されなくなるまで繰り返す. ⑤1 Mの塩化アンモニウム30 mLを加え10 分間往復振とう,10 分間遠心分離し,上澄み液を200 mLのメスフラスコに集める操作を5 回繰り返す. その後標線まで純水で希釈する. ⑥回収した上澄み液をサンプルとしてカルシウムイオン濃度をイオンクロマトにより測定し,陽イオン交換容量に換算する.

方法1は、試料に吸着している交換性陽イオンを 酢酸アンモニウムにより抽出、測定して合計する方 法で、方法2は試料に吸着している交換性陽イオン を一度、カルシウムイオンに置換し、それを塩化ア

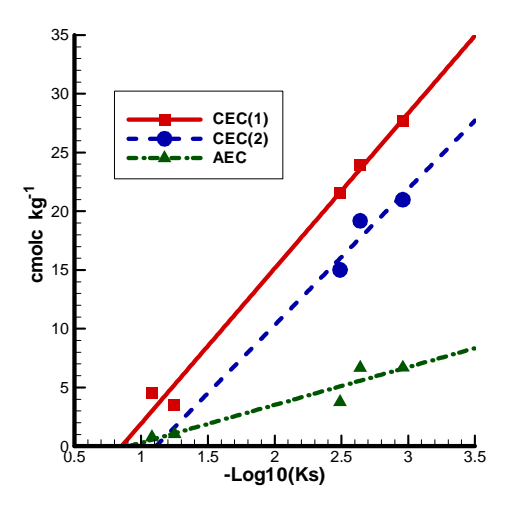


図-4 飽和透水係数と陽イオン交換容量および陰イオン交換容量の関係 (飽和透水係数Ksの単位は、 $cm s^{-1}$ )

ンモニウムにより抽出,測定する方法である.

#### (4) 陰イオン交換容量の測定方法

本研究では化学的特性として陽イオン交換容量に注目している。粒径の大きさや飽和透水係数と吸着特性との関係を検討する場合には、陰イオン交換容量についても考慮すべきである。ここでは以下の方法<sup>17</sup>により陰イオン交換容量を測定した。

①風乾試料4.0 gを遠沈管に採取する. ②40 mLの  $Ca(H_2PO_4)$ を加え、往復振とう器で30 分間攪拌する. ③2500 rpmで10 分間遠心分離にかけて上澄み液をメスフラスコに集める. ④操作② $\sim$ ③e5 回繰り返し、純水で希釈してイオンクロマトにより各イオン濃度を測定する. ⑤陽イオン交換容量の時と同様に乾土あたりの各交換性陰イオン量を計算し、その合計を陰イオン交換容量とする.

# 3. 実験結果と考察

まず、浸透実験で用いた試料の飽和透水係数と陽 イオン交換容量の関係について検討する. 一般に土 粒子の粒径が大きいほど透水係数が大きくなると考 えられる. 一方土粒子の比表面積は粒径が小さくな るほど大きくなると考えられる. 図-4に透水係数と 陽イオン交換容量および陰イオン交換容量の関係を 示す. まず陽イオン交換容量については、いずれの 測定方法についても明らかな相関が認められる. 図 中のCEC(1),(2)はそれぞれの方法での測定値を意味 する. 後者の方法ではカルシウムを過剰に洗浄して しまったため値が小さくなったと考えられ, 本来の CECとしてはCEC(1)をとる方が良さそうである $^{18)}$ . 陰イオン交換容量についても陽イオン交換容量と同 様に飽和透水係数と明らかな相関が認められる. 前 述のように透水係数の大きさと土粒子の大きさが対 応していると考えれば、陽イオンか陰イオンかにか

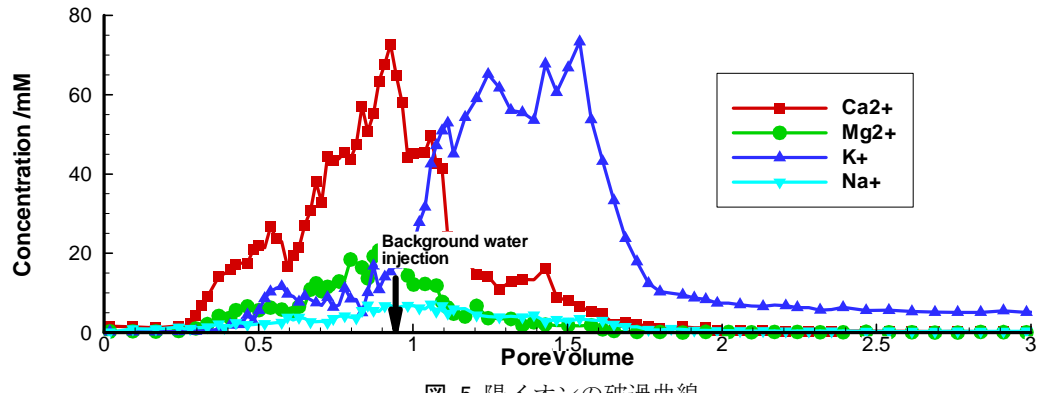


図-5 陽イオンの破過曲線

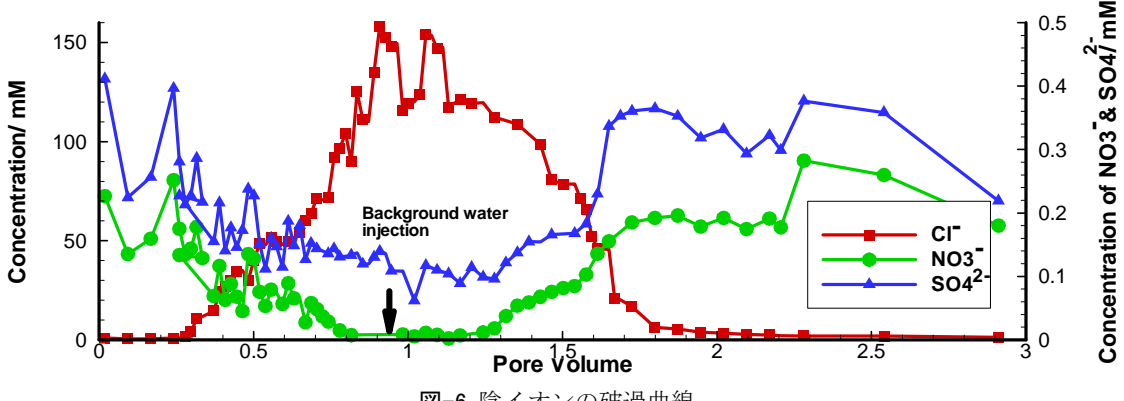


図-6 陰イオンの破過曲線

かわらず比表面積の大きい方が吸着しやすいことが 分かる. ただしここで用いた試料は超音波などによ る団粒構造の破壊を行っていない点に注意を要する.

図-5にKCl注入後からの陽イオン濃度の破過曲線 を示す. 図はPore Volume (以下PV)でプロットした が、これは1 PVを充填した試料の間隙率より浸透層 全体の間隙体積として算定した. 背景水への切り替 えは、およそ0.93 PVである(図-5.6に矢印で示す). 陽イオンとしてはK<sup>+</sup>を注入しているので、浸透層内 の土に吸着していた $Ca^{2+}$ ,  $Mg^{2+}$ および $Na^{+}$ が $K^{+}$ とイ オン交換し、土から脱着して流出したことが分かる.  $K^+$ は、カラム内の吸着サイトを満たした後、 $Ca^{2+}$ 、 Mg<sup>2+</sup>およびNa<sup>+</sup>に遅れて過剰な分が流出しているこ とが分かる. K+以外の固相から脱着して流出する陽 イオンのピーク到達時間は、 $Ca^{2+} > Mg^{2+} > Na^+$ の順で あることが分かる.この順番は、CECを求める方法 1において求められた固相に吸着している陽イオン の大小関係とも一致している. この破過曲線より, 注入したK<sup>+</sup>のピークが分かれており、これは浸透し てきた場の不均一性を反映していると考えられる. またKが長いテーリングを示していることが分かり, 浸透層内でK<sup>+</sup>が長く捕捉されており、イオン交換に より吸着したK<sup>+</sup>が多く、背景水による再交換がなか なか進まないからと考えられる. なお煩雑になるの を避けるため、図はシンボルを間引いて示している (後の図-6,7,10でも同様である).

図-6にKCI注入後からの陰イオン濃度の破過曲線 を示す. 陰イオンとしてはCIでけを注入しているの

で, もともと低濃度であるがNO<sub>3</sub>-, SO<sub>4</sub><sup>2-</sup>とも低減し, 再び背景水を流入させることにより両方とも回復し ている. Cl<sup>-</sup>のピークもK<sup>+</sup>と同様に分かれており, 不均一性を反映している. しかしK<sup>+</sup>のピークとは時 間的なずれが生じており、これは陽イオン交換によ り先行して流出する他の陽イオンとの電気的中性を 保つためと考えられる. CltはK<sup>+</sup>ほどのテーリング は示しておらず、これはCIが浸透層内に吸着保持さ れていないからと考えられる. これに比べ, K+は遅 延して流出し、固相へ吸着されていることが分かる.

図-7に電気伝導度(EC)の時空間変動を示す. ECは、No.1 > 8 > 7 > 5 > 6 > 3 > 4の順に立ち上がっ ていることが分かる. なおNo.2に関しては、初期に データロガーの接触不良により立ち上がり部分が測 定不能であったため示していない. この順番は図-8 に示すデジタルカメラによる実験写真ともほぼ対応 している. すなわち注入した着色溶液1は、最初浸 透層左側の中段程度まで先行して移行し, その後, 右側を選択的に流れ、浸透層中央部については右側 から侵入した着色溶液が下端を経由しNo.3へ移行し、 その後左側から遅れて移動してきた着色溶液がNo.4 に侵入したため、No.3の方がNo.4よりも先にECが立 ち上がったと説明できる. ECと各化学種濃度との 対応については現段階では検討していないが、EC の最大値は、No.1>2>5>3>4>8>6,7の順である. プローブを挿入している地点の粒径の大きさは, No.1 < 2, 4, 5 < 3, 8 < 6, 7のようになる. 粒径の大き い試料では、ECが小さくなり、逆に粒径の小さい

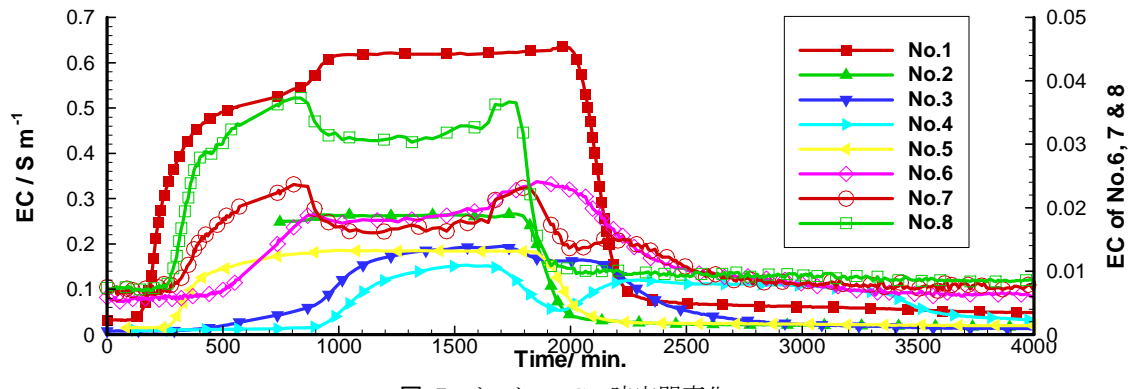


図-7 バルクのECの時空間変化

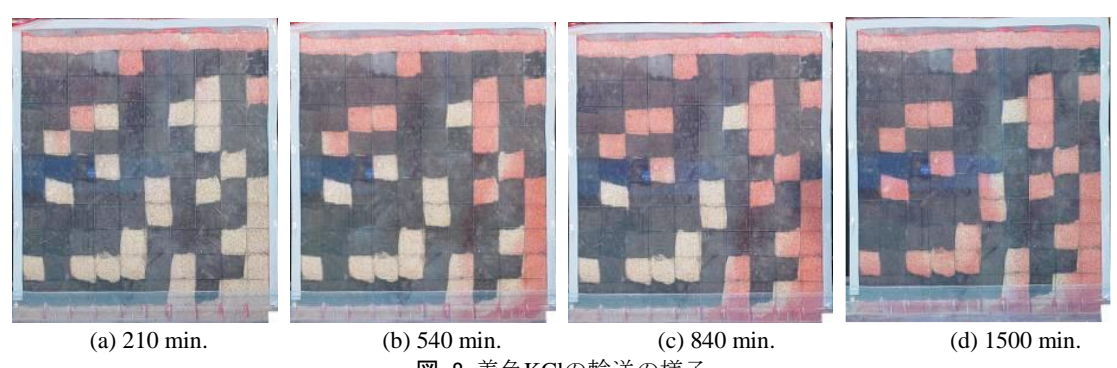


図-8 着色KClの輸送の様子

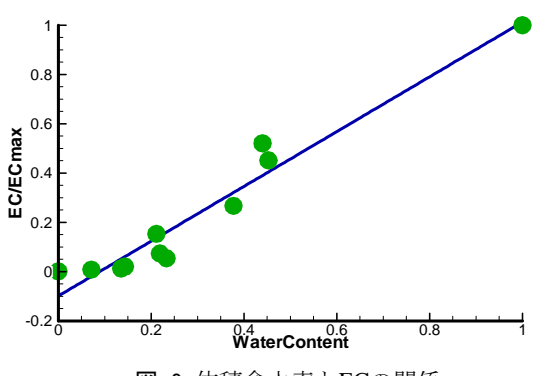


図-9 体積含水率とECの関係

試料では大きくなる. TDRでは、液相と固相をあわ せたバルクのECを測定しているので、間隙溶液の ECを知るためには、別途補正が必要になる. つま りこのTDR測定によるECが高いところの間隙溶液 のECが高いとは一概に言えない. そこで実験装置 に挿入していない別のPCBPを用いて体積含水率と ECの関係を実験で用いた試料についてプロットし たものを図-9に示す. これにより体積含水率に応じ てバルクのECを補正することで、間隙溶液のECを 推定することを試みた. いずれの測定点においても 土壌水分の測定値が得られているので、この関係を 用いて補正が可能である. その結果を図-10に示す. これにより粒径の大きい試料(No.6,7)でECが極 端に小さくなるということは無くなった. 今回は測 定に使用しているPCBPを用いていないので厳密な 補正ではないが、同じことをプローブ毎に行うこと

でより正確な補正が可能である. なおバルクのEC 測定の校正曲線は図-3よりも高い濃度に関しても直 線性を保つことを確認していることを付記しておく.

# 4. おわりに

本研究では、物理的-化学的不均一場における物 質輸送特性を明らかにするため,室内実験を実施し, 電気伝導度の時空間分布と浸透層下端からの流出溶 液の各成分濃度の時間変化から検討を加えた. また, 物理的不均一性と化学的不均一性の関係を調べるた め,室内実験で用いた試料により検討を行い,飽和 透水係数の対数変換値と陽イオン交換容量および陰 イオン交換容量の間の明らかな線形関係を確認した. 飽和透水係数の不均一性による物質輸送への影響を 検討する際には、それと明らかな相関をもって変動 する陽イオン交換容量や陰イオン交換容量の影響も 考慮に入れるべきであると考えられる. 本実験では, 特に陽イオン交換に着目したが、陽イオン交換容量 や陰イオン交換容量といった吸着特性の大小の分布 が物質輸送に影響を与えるため、吸着性物質の移動 に関するモデル化にあたっては、このことを考慮す る必要があろう. 着色KCl溶液の浸透実験における 流出溶液のK<sup>+</sup>とCl<sup>-</sup>の破過曲線では、それぞれの ピークが分かれており、これは浸透場の不均一性の 影響を受けたと考えられる. 注入したK<sup>+</sup>はCI<sup>-</sup>に比 べて、明らかに遅れて流出しており、固相への吸着 が効いていることが分かる. 各測定点における電気 伝導度の立ち上がりは, 実験写真の挙動を反映して

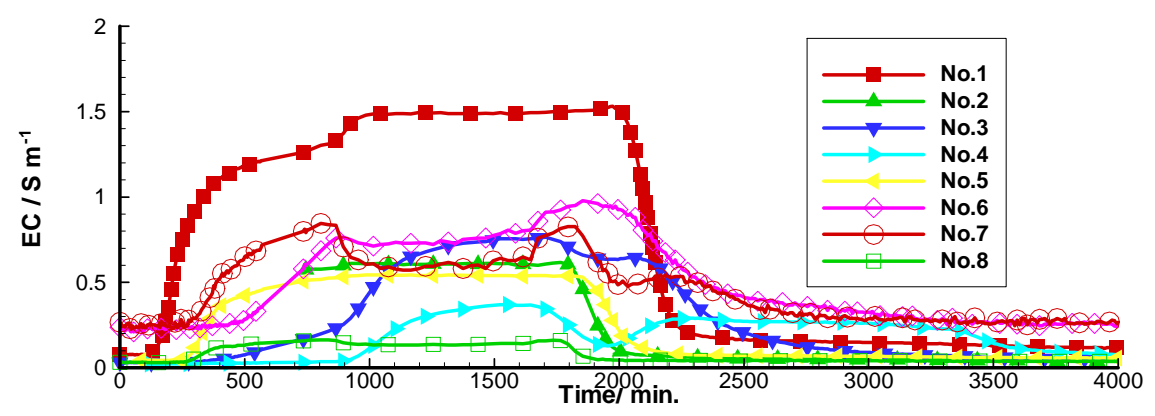


図-10 補正して得られた間隙溶液のECの時間変化

おり、測定が概ね正しく行われたと考える. 電気伝導度の最大値は、各測定点の試料の粒径と対応していることが明らかになったが、間隙溶液のECを知るためには別途ここで示したような校正が必要である. 今後は、反応輸送モデルによる数値計算を実施し、今回の実験結果の説明と物理的-化学的不均一場における反応を伴う物質輸送メカニズムのより詳細な検討を行うことを考えている.

謝辞:本研究の一部は、平成19-20年科学研究費補助金(若手研究(B))「競合吸着を考慮した地盤の化学性の不均一分布が巨視的分散におよぼす影響」(課題番号 19760330、代表 中川 啓)の補助を受けて行われた。また室内実験の実施において、鹿児島大学大学院農学研究科の前川陽介君にご協力頂いた。ここに記して謝意を表す。

#### 参考文献

- 1) Dagan, G.,: Flow and Transport in Porous Formations, Springer, Heidelberg, Berlin, New York, 1989.
- 2) Gelhar, L.W.,: *Stochastic Subsurface Hydrology*, Prentice-Hall, Englewood Cliffs, NJ, 1993.
- 3) Neuman, S.P.,: Eulerian-lagrangian theory of transport in spasce-time nonstationary velocity fields: Exact nonlocal formalism by conditional moments and weak approximation, *Water Resources Research*, Vol.29, No.3, pp.633-645, 1993.
- 4) Schäfer, W. and Kinzelbach, W.K.H.: Transport of reactive species in heterogeneous porous media, *Journal of Hydrology*, vol.183, pp.151-168, 1996.
- Silliman, S.E.: The importance of the third dimension on transport through saturated porous media: case study based on transport of particles, *Journal of Hydrology*, vol.179, pp.181-195, 1996.
- 6) Rubin, Y., Cushey, M.A. and Wilson, A.: The moments of the breakthrough curves of instantaneously and kinetically sorbing solutes in heterogeneous geologic media: Prediction and parameter inference from field measurements, *Water Resources Research*, Vol.33, No.11, pp.2465-2481, 1997.
- 7) Elfeki, A.M.M., Uffink, G.J.M. and Barends, F.B.J.: Groundwater Contaminant Transport: Impact of Heterogeneous Characterization: A New View on Dispersion. A. A. Balkema, Rotterdam, 1997.

- 8) Dai, Z., Ritzi Jr., R.W., Huang, C., Rubin, Y.N. and Dominic, D.F.: Transport in heterogeneous sediments with multimodal conductivity and hierarchical organization across scales, *Journal of Hydrology*, Vol.294, pp.68-86, 2004.
- 9) 坂本 康・渡辺和彦:不飽和層中での水みち形成と水 みち流下速度についての実験的研究,水工学論文集, 35,pp.111-116,1991.
- 10) 坂本 康:接触角と水分量の影響を考慮した水みち侵入モデルによるシミュレーション,水工学論文集,38,pp.179-184,1994.
- 11) Christiansen, J.S., Engesgaard, P. and Bjerg, P.L.: A physically and chemically heterogeneous aquifer: field study and reactive transport modelling. In: *Groundwater Quality: Remediation and Protection* (Proceedings of the GQ'98 Conference held at Tübingen, Germany, September 1998) (ed. By M. Herbert & K. Kovar), IAHS Publ., No.250, pp.329-336, 1998.
- 12) Nakagawa, K., Wada, S.-I., Momii, K. and Berndtsson, R.: Soil heterogeneity effects on acid flushing of lead-contaminated soil, *Environmental Modeling and Assessment* (DOI 10.1007/s10666-006-9076-0), 2007.
- 13) 中川 啓・和田信一郎・籾井和朗・Ronny Berndtsson:物理的-化学的不均一浸透場における見か けの分散長,水工学論文集,50,pp.229-234,2006.
- 14) Chiang, W.-H. and Kinzelbach, W.: 3D-Groundwater Modeling PMWIN, Springer-Verlag, Heidelberg, Germany, 2001.
- 15) 中川 啓・関岡洋志・前川陽介・籾井和朗・北村良介:プリント基板プローブを用いたTDRと画像解析による不飽和-不均一場における水分動態解析,水工学論文集,51,pp.439-444,2007.
- 16) Giese K and Tiemann R.: Determination of the complex permittivity from thin-sample time domain reflectometry improved analysis of the step response waveform. *Advances Molecular Relaxation Processes* 7, pp.45-59, 1975.
- 17) 和田信一郎:第4章 土壌の化学的性質の測定法,地球環境調査計測辞典 第1巻 陸域編①,フジテクノシステム,pp.1017-1058,2002.
- 18) 村本穣司・後藤逸男・蜷木翠:振とう浸出法による土 壌の交換性陽イオンおよび陽イオン交換容量の迅速分 析,日本土壌肥料学雑誌,63(2),pp.210-215,1992.

(2007.9.30受付)